

Рис. 1. Морфологическая пластичность *Listeria monocytogenes*: А — оvoidная форма (бар 6,0 мкм); Б — палочковидная форма (бар 7,5 мкм); В — клетки протопластного типа; Г — нитчатые формы и L-формы (бар 3,1 мкм) (электронный микроскоп Hitachi-800 со сканирующей приставкой Hitachi-8010, Япония).

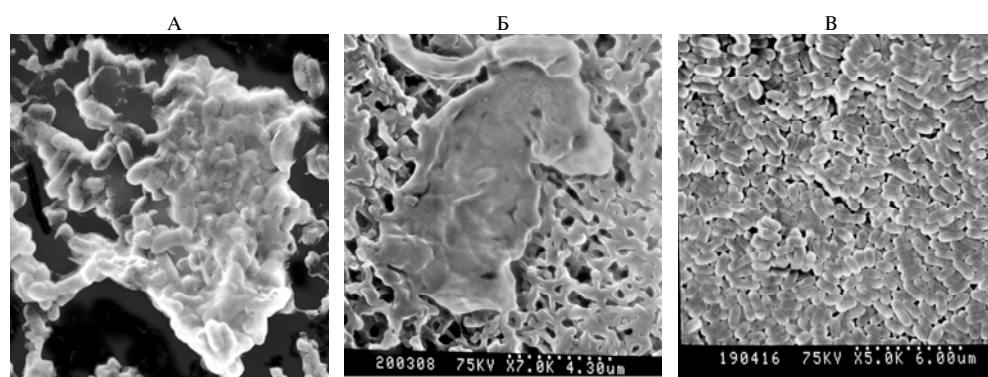


Рис. 2. Фрагменты популяции *Listeria monocytogenes* в водной среде в разных условиях: А — 22 °С, 3 мес (клетки палочковидной формы погружены в матрикс, формирующий покров); Б — 4 °С, 2 нед (клетки палочковидной формы закрыты покровом); В — -18 °С, 30 сут (клетки имеют типичную оvoidную форму) (электронный микроскоп Hitachi-800 со сканирующей приставкой Hitachi-8010, Япония).

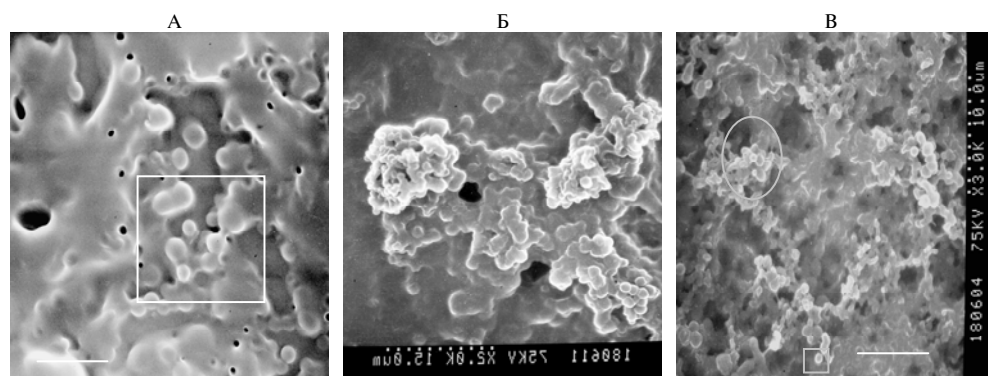


Рис. 3. *Listeria monocytogenes* в контаминированных пищевых продуктах: А — фрагмент образца куриного мяса (на поверхности сарколеммы выявляются единичные адгезированные и делящиеся бактерии, бар 3,1 мкм); Б — стерилизованное молоко (видны микроколонии, закрытые с поверхности покровами, в отдельных фрагментах наблюдаются скопления протопластов); В — фрагмент капли биокефира (наряду с клетками нормальной морфологии встречаются гетероморфные клетки протопластного типа и мелкие L-формы, бар 5,0 мкм) (электронный микроскоп Hitachi-800 со сканирующей приставкой Hitachi-8010, Япония).

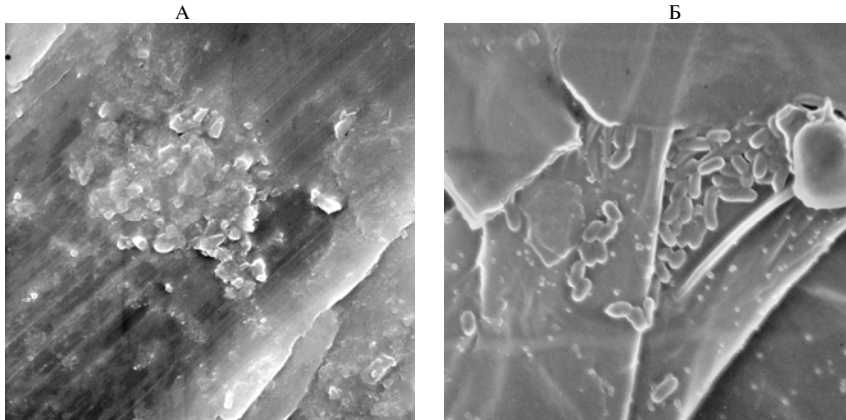


Рис. 4. *Listeria monocytogenes* в растительных образцах: А — фрагмент листовой пластинки овса (эпидерма частично удалена, видна популяция гетероморфных клеток); Б — фрагмент частиц дробленого зерна (клетки адгезированы на поверхности частиц, начало формирования микроколонии) (электронный микроскоп Hitachi-800 со сканирующей приставкой Hitachi-8010, Япония).